

RSA/ECC 密码协处理器的硬件实现

何德彪, 陈建华, 孙金龙

(武汉大学数学与统计学院, 武汉 430072)

摘要: 给出了一种公钥密码协处理器的结构, 既可以计算定义在 F_p 上的椭圆曲线的点乘运算, 也可以计算应用在 RSA 中的模幂运算, 支持域长度不超过 256 比特的 ECC, 长度不超过 2 048 比特的 RSA。该协处理器具有结构简单、实现方便、稍加调整即可满足用户对面积的要求等特点。

关键词: RSA; 椭圆曲线密码; 硬件实现; 协处理器

Hardware Implementation of Cryptographic Processor for RSA and ECC

HE De-biao, CHEN Jian-hua, SUN Jin-long

(School of Mathematics & Statistics, Wuhan University, Wuhan 430072)

【Abstract】 This paper describes a hardware implementation of a cryptographic processor for RAS and ECC. The processor can not only compute modular exponent of RSA, which length is less than 2 048, but also compute point multiplication of ECC, which length is less than 256. The processor is implemented simply and can adjust area.

【Key words】 RSA; elliptic curve cryptography(ECC); hardware implementation; processor

1976年, Diffie 和 Hellman 提出公钥密码的思想^[1]和数字签名的概念, 从此公钥密码得到迅速发展。目前应用最为广泛的公钥密码学是 RSA^[2], 随着破译技术的发展, RSA 需要的密钥越来越长, 运算代价越来越大。而椭圆曲线密码(ECC)^[3-4]在密钥长度为 160 比特时与 1 024 比特密钥的 RSA 安全性相当, 因此, 与 RSA 相比具有明显的优势, 得到越来越广泛的应用。虽然 RSA 被认为必然被 ECC 替代, 但是这个替代过程需要很长的时间, 到目前为止, RSA 依然在很多地方得到应用。

随着技术的发展, 需要处理的数据量越来越大, 单纯依靠软件实现的密码机制已经不能满足工业的需要, 而计算机本身又不支持超大整数的运算, 设计公钥密码协处理器成为必然。现在又处于两种公钥密码的替代之际, 因此支持两种公钥密码的协处理器很容易成为工业界关心的焦点。

文献[5-9]对 RSA 或者 ECC 协处理器进行了描述, 大多利用 FPGA 进行实现, 控制非常复杂。本文给出了一种结构简单、易于实现的协处理器结构。

1 数学基础

1.1 RSA 密码

下面给出 RSA 的简要介绍, 具体参见文献[2]:

- (1)公开的模 $M=P*Q$, 其中 M 是长度为 $m=\lceil \log_2(M+1) \rceil$ 的数, 是两个不公开的素数 P 和 Q 的乘积。
- (2)公钥 E 是一个公开的随机奇整数, 有时为了加快加密速度可以取 E 为 3。
- (3)私钥 D 由 $E*D=1 \pmod{(P-1)*(Q-1)}$ 确定。
- (4)长度为 $n=km$ 的明文被划分为每块长度为 m 的明文块, 对其中一块 A 加密, 解密过程如下:

- 1)利用公钥加密
 $P(A)=A^E \pmod M$

2)利用私钥解密

$$S(A)=P(A)^E \pmod M$$

显然, RSA 中最主要的运算是模幂运算, 下面给出最基本的模幂算法:

算法 1 模幂运算

输入: X, E, M , 设 E 的二进制表示为 $(e_{l-1}, e_{l-2}, \dots, e_1, e_0)$

输出: $Y=X^E \pmod M$

- (1) $Y \leftarrow 1$
- (2) For $i=l-1$ down to 0 do
 - 1) $Y \leftarrow Y^2 \pmod M$
 - 2) If $e_i=1$ then $Y \leftarrow Y*X \pmod M$
- (3) Return Y

1.2 椭圆曲线密码

1.2.1 椭圆曲线

有限域 F_p (下面所有的有限域都是 F_p , 用 K 来表示) 上的椭圆曲线定义如下:

$$E: y^2 = x^3 + ax + b \quad (a, b \in K, 4a^3 + 27b^2 \neq 0)$$

其中, K 的特征 $\neq 2, 3$, E 上的 K -有理点构成一个 Abelian 群, 记做 $E(K)$, 这里 $E(K) = \{(x, y) \in K^2 \mid y^2 = x^3 + ax + b\} \cup \{o\}$ 。

1.2.2 仿射坐标下的加法

在摄影坐标下, E 上的点 P 表示为: (x, y) , $x, y \in K$, 此时 Abelian 群 $E(K)$ 的加法定义如下:

- (1) $O+O=O$;
- (2) $\forall P=(x, y) \in E(K) \setminus \{O\}, P+O=P$;
- (3) $\forall P=(x, y) \in E(K) \setminus \{O\}$, P 的逆元 $-P=(x, -y)$, $P+(-P)=O$;
- (4) 点 $P_1=(x_1, y_1) \in E(K) \setminus \{O\}, P_2=(x_2, y_2) \in E(K) \setminus \{O\}, P_3=P_1+P_2$, 则

作者简介: 何德彪(1980 -), 男, 博士, 主研方向: 数论与密码方向研究; 陈建华, 博士生导师; 孙金龙, 博士

收稿日期: 2006-11-30 **E-mail:** hedebiao@163.com

$$\begin{cases} x_3 = \lambda^2 - x_1 - x_2 \\ y_3 = \lambda(x_1 - x_3) - y_1 \end{cases}$$

其中,

$$\lambda = \begin{cases} \frac{y_2 - y_1}{x_2 - x_1}, & \text{若 } x_1 \neq x_2 \\ \frac{3x_1^2 + a}{2x_1}, & \text{若 } x_1 = x_2, \text{ 且 } P_1 \neq -P_2 \end{cases}$$

1.2.3 仿射坐标下的点加

从上面公式很容易看出,在仿射坐标下面,需要求逆运算。而求逆运算相当困难,在摄影坐标下,可以避免求逆运算^[4]。

摄影坐标有多种形式,采用了 Jacobi 摄影坐标。椭圆曲线上的点 P 在 Jacobi 摄影坐标下表示为 (X, Y, Z) 。仿射点 $P(x, y)$ 按照如下公式转换为摄影坐标点 $P(X, Y, Z)$:

$$X = x, Y = y, Z = 1$$

摄影坐标点 $P(X, Y, Z)$ 按照如下公式转换为仿射坐标点

$P(x, y)$:

$$x = X/Y^2, y = Y/Z^3$$

下面给出在摄影坐标下点的加法公式:设 $P = (X_0, Y_0, Z_0)$,

$Q = (X_1, Y_1, Z_1), P + Q = (X_2, Y_2, Z_2)$, 如果 $P = Q$, 则

$$X_2 = (3X_1^2 + aZ_1^4) - 8X_1Y_1^2$$

$$Y_2 = (3X_1^2 + aZ_1^4)(4X_1Y_1^2 - X_2) - 8Y_1^4$$

$$Z_2 = 2Y_1Z_1$$

如果 $P \neq \pm Q$, 则

$$V = (X_0Z_1^2 + X_1Z_0^2)(X_0Z_1^2 - X_1Z_0^2) - 2X_2$$

$$X_2 = (X_0Z_1^3 - Y_1Z_0^2)^2 - (X_0Z_1^2 + X_1Z_0^2)(X_0Z_1^2 - X_1Z_0^2)$$

$$2Y_2 = V(X_0Z_1^3 - Y_1Z_0^2) - (Y_0Z_1^2 + Y_1Z_0^2)(X_0Z_1^2 - X_1Z_0^2)$$

$$Z_2 = Z_0Z_1(X_0Z_1^2 - X_1Z_0^2)$$

1.2.4 椭圆曲线的点乘运算

点乘运算的方法有很多种^[10],这里给出最基本的一种算法,其他的算法都是在这个算法的基础上进行了改进。

设 P 为椭圆曲线上的点, k 为正整数, k 的二进制表示为

$$(k_{1-1}, k_{1-2}, \dots, k_1, k_0) Q = kP$$

算法 2 椭圆曲线点乘算法

输入: $k, P \in E(K)$

输出: $Q = kP$

(1) $Q \leftarrow O$

(2) For i from $l-1$ down to 0 do

1) $Q \leftarrow 2Q$

2) If $k_i = 1$ then $Q \leftarrow Q + P$

(3) Return Q

1.2.5 椭圆曲线数字签名和验证

定义 P 为椭圆曲线 E 上阶为大素数 n 的基点, d 为私钥, $Q = dP$ 为公钥, 则椭圆曲线签名和验证算法如下:

算法 3 椭圆曲线签名算法

(1) 产生随机数 k

(2) 计算 $R = kP$

(3) 计算 $r = (R)_x \bmod n$, 如果 $r = 0$, 则转到(1)

(4) 计算 $s = (e + dr)/k \bmod n$, 如果 $s = 0$, 则转到(1)

(5) 输出签名 $\text{sig} = (r, s)$

算法 4 椭圆曲线签名验证算法

(1) 如果 $r \notin [1, n-1]$ 或者 $s \notin [1, n-1]$, 则输出“错误”

(2) 计算 $1/s \bmod n$

(3) 计算 $(e/s \bmod n)P$

(4) 计算 $(r/s \bmod n)Q$

(5) 计算 $r' = ((e/s \bmod n)P + (r/s \bmod n)Q)_x$

(6) 如果 $r = r'$, 则输出正确, 否则输出错误

2 协处理器结构

从第 1 节对 RSA 和 ECC 的描述可以看出,这两种密码机制都是建立在模乘和模加的基础上,因此,协处理器必须能进行模乘和模加运算。

2.1 公钥密码芯片的整体框架

公钥密码芯片整体框架如图 1 所示。

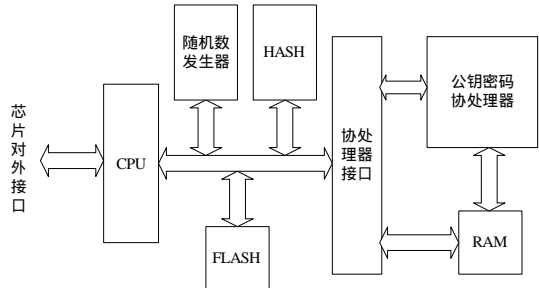


图 1 公钥密码芯片整体框架

为了降低实现代价,只把最低层的模乘和模加利用硬件实现, RSA 用到的模幂, ECC 用到的点加、点倍, 都利用软件协处理器来实现, 公钥密码机制也利用软件来实现。把实现公钥密码机制的代码, 写在 FLASH 中, 当 CPU 接到外部命令时, 调用 FLASH 中的程序, 与随机数发生器和公钥密码接口通信, 完成公钥的加密、解密、签名或者验证。随机数发生器, FLASH, HASH, CPU 不是设计的重点所在, 这里就不再赘述。

2.2 公钥密码协处理器

公钥密码协处理器是实现模乘、模加、模减运算, 为了节省面积参与运算的数据都存储在 RAM 中, 当参与运算的数据在 RAM 中存好以后, CPU 调用 FLASH 中的程序, 不断对公钥密码协处理器发模乘, 模加或模减的命令, 从而完成需要进行的模幂或者点乘运算。运算结果仍然存储在 RAM 中, 运算结束后 CPU 把 RAM 中的数据取走。模加和模减算法比较简单, 其中主要是用到了全加器, 在这里采用超前进位加法器, 不再赘述, 模乘算法如下:

算法 5 Montgomery 模乘算法

输入: A, B, M, e

输出: $D = A * B * R^{-1} \bmod M (R = 2^{we}), D < M$

(1) $D := 0$

(2) For $j = 0$ to $e-1$ do

1) $(C, S) := A[0]B[j] + D[0]$

2) $U := S * MC \pmod{2^w}$

3) $(C, S) := (C, S) + M[0]U$

4) $(C, S) \gg w$

5) For $i = 1$ to $e-1$ do

5.1) $(C, S) := (C, S) + A[i]B[j] + D[i] + D[i]U$

5.2) $D[i-1] := S$

5.3) $(C, S) \gg w$

6) $(C, S) = (C, S) + Dn$

7) $D[e-1] = S$

8) $Dn = C$ 的第 0bit

(3) If $(D > M)$ then $D = D - M$

从算法很容易看出, 关键点是实现 2.5.1, 为了到达节省芯片面积的目的, 把 A, B, M 都存储在 RAM 中, 运算需要的时候才从 RAM 中取出 $A[i], B[j], D[i], D[i]$, 把这一步分成 2 次来做, 第 1 次计算 $(C, S) + A[i]B[j]$, 第 2 次计算 $(C, S) + D[i]$

$+D[i]U$, RAM 是三端口的, 端口为两读一写, 以 w 为 32 比特为例来说明, 为了计算 2 048 比特的 RSA 需要的模幂运算, 需要容量为 256×32 的 RAM, 显然, 在计算 2.5.1 中, 也需要用到全加器, 在实现过程中, 把模乘运算, 模加运算和模减运算用到的全加器复用, 从而达到降低实现代价的目的。公钥密码协处理器结构如图 2 所示。

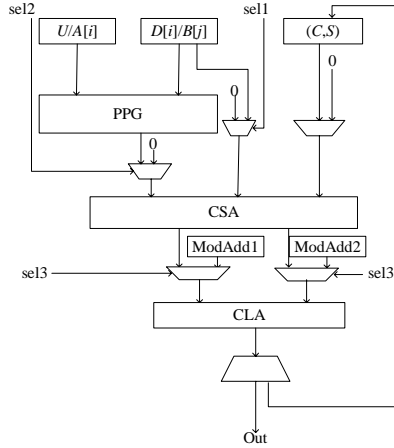


图 2 公钥密码协处理器结构

2.3 协处理器接口

协处理器接口模块, 负责协处理器以及 RAM 和外部的数据交换, 当接收的是读写命令时, 接口模块直接对 RAM 操作, 当接收到的为模乘、模加、模减命令时, 在协处理器空闲的时候, 接口模块则把命令传递给协处理器, 一般情况下, 外部环境都是在检测到协处理器空闲的时候再发送操作命令, 这样从协处理器运算结束到下一次运算开始需要等待相当长的时间, 会大大降低协处理器的性能。为了克服这一弱点, 在接口模块中加入了 16×4 的 FIFO, 这样所有的模乘、模加、模减命令, 都先存储在 FIFO 中, 在 FIFO 非空的情况下, 当接口模块检测到协处理器空闲时就会从 FIFO 中取出一条指令送到协处理器模块, 让协处理器始终处于运转状态, 而外边不再检测协处理器是否空闲, 只要检测到 FIFO 不是满的, 就可以把需要的指令送到接口模块, 所有的运算指令发送完毕以后, 外部检测 FIFO 是否为空, 当为空的时候再检测协处理器是否处于空闲状态, 当协处理器处于空闲状态时, 说明所有运算结束, 可以从 RAM 中取出结果。协处理, 接口模块, RAM 的数据交换如图 3 所示。

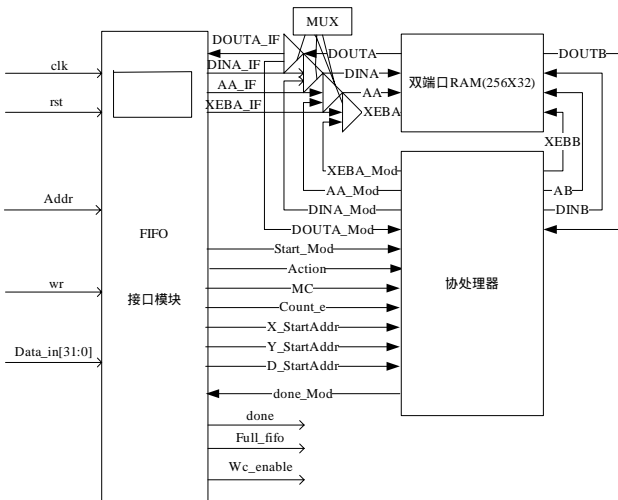


图 3 数据交换图

2.4 例子

为了说明协处理器的使用方法, 以点倍运算为例, 详细说明该处理器的。首先对指令结构进行说明, 指令结构如表 1 所示。

表 1 指令结构

Bit15..Bit12	Bit11..Bit0
xxxx	X Y D

第 12 比特到第 15 比特为操作命令, 0001 代表模乘运算, 0010 代表模加运算, 0011 代表模减运算, 第 8 比特到第 11 比特为第 1 个操作数在 RAM 中的地址, 第 4 比特到第 7 比特为第 2 个数在 RAM 中的地址, D 为结果存放的地址。

在进行点倍运算之前, 先把数据写进 RAM 中, 具体数据安排如图 4 所示。

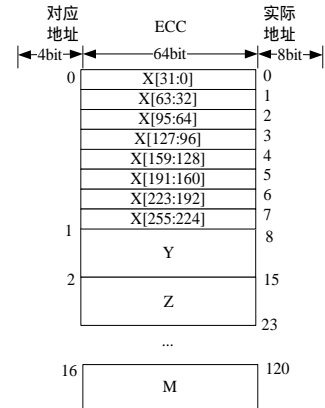


图 4 RAM 中的数据分布

该处理器最终要进行点乘运算, 从算法 2 可以看出, 每一次的点倍的结构要放在原来的位置, 因此, 可以连续放松如下命令就可以完成点倍运算。点倍运算命令为: 16'h1115, 16'h1056, 16'h2666, 16'h2666, 16'h1557, 16'h2775, 16'h2555, 16'h2555, 16'h1227, 16'h1778, 16'h18e7, 16'h1008, 16'h2880, 16'h2808, 16'h2878, 16'h1880, 16'h3060, 16'h3060, 16'h3606, 16'h1127, 16'h2772, 16'h1861, 16'h3151。当然, 可以根据需要设计不同的数据存储位置, 对于 RSA, 指令相当简单, 这里不再赘述。

3 结束语

本文给出了一种同时支持 RSA 和 F_p 上 ECC 的公钥密码协处理器的实现方法, 该处理器可以根据需要调整面积, 对于最关键的模乘算法, 采用 Montgomery 模乘算法。协处理器代码用 Verilog 编写, 用 Modelsim6.0 仿真, 由 Compiler Design 综合得到网表。对于遇到的协处理器空闲时间过长问题, 也给出了解决方案。最后结合具体例子, 对协处理器的使用方法给出了说明。

参考文献

- Diffie W, Hellman M. New Directions in Cryptography[J]. IEEE Transactions on Information Theory, 1976, 22(6): 644-654.
- Rivest R, Shamir A, Adleman L. A Method for Obtaining Digital Signatures and Public Key Cryptosystems[J]. Communications of the ACM, 1978, 21(2): 120-126.
- Koblitz N. Elliptic Curve Cryptosystem[J]. Math. Comp., 1987, 44(1): 203-209.
- Blake I, Seroussi G, Smart N P. Elliptic Curves in Cryptography[M]. London: Cambridge University Press, 1999.

(下转第 34 页)